

und auf Biegung durch den Druck des Treibmittels zunächst zur Einführung des Gegenschwalbenschwanzes, Abb. 2240. Schlagbiegeversuche nach Abb. 2241, bei

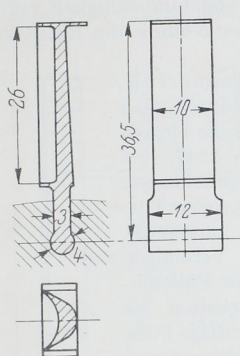


Abb. 2238. Schaufelbefestigung nach de Laval.

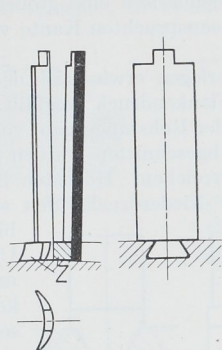


Abb. 2239. Schaufelbefestigung mittels Schwalbenschwanzes.

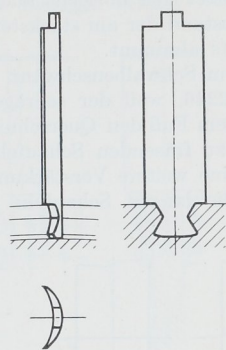


Abb. 2240. Gegenschwalbenschwanz.

denen ein Hammer so oft auf die Schaufelenden fallen gelassen wurde, bis der erste RiB eintrat, zeigten, daß die Schaufeln erheblich widerstandsfähiger waren, wenn

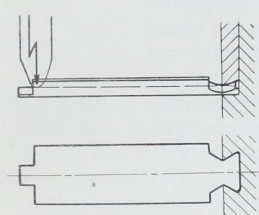


Abb. 2241. Schlagbiegeversuch an Schaufeln.

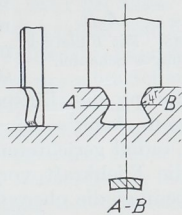


Abb. 2242. Schaufeln mit ausgerundeter Kehle.

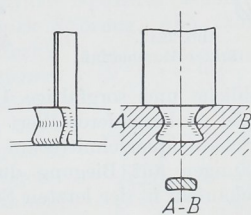


Abb. 2243. Schaufel mit ausgerundeter Kehle und abgerundeten Kanten.

die Kehlen und Kanten abgerundet wurden. Während bei scharfen Kehlen an einer bestimmten Schaufel insgesamt 5,5 . . . 8 mkg bis zum Anriß aufgewendet werden mußten, waren bei Ausrundung der Kehlen mit 4 mm Halbmesser, Abb. 2242, 42 . . . 50 und

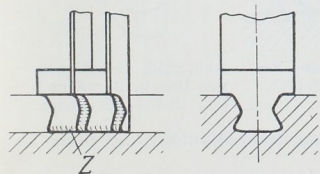


Abb. 2244. Schaufeln mit überhöhten Füllstücken.

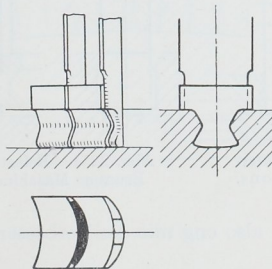


Abb. 2245. Schaufeln mit überhöhten Füllstücken und abgerundeten Kanten.

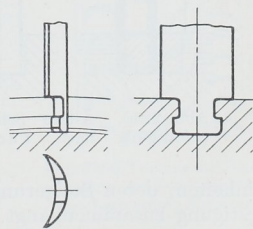


Abb. 2246. Hammerfuß.

nach dem Brechen der Kanten, Abb. 2243, 58 . . . 60 mkg Schlagarbeit notwendig. In weiterer Vervollkommnung wurde durch Überhöhen der Füllstücke nach Abb. 2244 der ganze Schaufelquerschnitt zur Aufnahme des durch den Dampfdruck erzeugten Biegemoments herangezogen. Der tief in der Nut liegende kleinste Querschnitt ist